

## Mineralogy of different phases of Rodingite formation in dikes of Anarak upper Proterozoic Ophiolite (NE of Isfahan province, Iran)

Gh. Torabi<sup>1</sup>, M. Sabzehei<sup>1</sup>, S. Arai<sup>2</sup>, H.A. Ahmed<sup>3</sup>, M.H. Emami<sup>4</sup>,  
M. Mohajjel<sup>1</sup>

1- *Geology Dep. , Tarbiat Modarres uni., Tehran, Iran.*

*E-mail : Torabighodrat@yahoo.com*

2- *Earth Sci. Dep., Kanazawa University, Kanazawa, Japan.*

3- *Central metallurgical res. and development inst , Cairo, Egypt.*

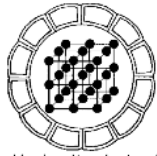
4- *Geological survey of Iran.*

(received: 28/10/2003, received in revised form: 3/3/2004)

**Abstract:** In north of Anarak area, in the upper Proterozoic ophiolite, exist Massive and Vein type Rodingites. Vein type rodingites have formed in two phases. Massive or Static rodingites have formed during oceanic crust spreading and ophiolite formation, and Vein type or Dynamic rodingites have formed during Anarak ophiolite emplacement and tectonic activities. Abundance order of minerals in massive rodingites is Garnet (Chromian-Andradite), Idocrase, Chlorite, Diopside, Prehnite and Epidote (decreasing). In the first phase of vein type rodingites, the abundance order of minerals is Diopside, Chlorite, Idocrase, and Garnet (Ti-Andradite), and in the second phase is Diopside, Chlorite and Garnet (Andradite). Petrography and geochemical study of minerals show that, during the formation of massive type rodingites, the activity of Calcium, Iron, and Chromium ions in fluids, and during the formation of first phase of vein type rodingites, the activity of Calcium, Silicon, Magnesium, Aluminum, Titanium, and OH<sup>-</sup> ions in fluids, have been increased. Geochemistry of second phase of vein type rodingites is similar to first phase, but because of absence of Idocrase, and low Titanium in Andradite structure, the activity of Iron, Titanium, and Aluminum ions, is lower than first phase. Generally the diversity of minerals in massive type rodingites is more than vein type rodingites.

**Keywords:** *Mineralogy, Geochemistry, Ophiolite, Serpentinized mantle peridotite, Dikes, Intrusives, Rodingites.*





## کانی شناسی فازهای مختلف تشکیل رودینگیت در دایک های مجموعه افیولیتی پروتروزوئیک بالایی شمال انارک

قدرت ترابی<sup>۱</sup>، مسیب سبزه‌یی<sup>۱</sup>، شوجی آرایبی<sup>۲</sup>، احمد حسن احمد<sup>۳</sup>،

محمد هاشم امامی<sup>۴</sup>، محمد محجل<sup>۱</sup>

۱- بخش زمین شناسی دانشگاه تربیت مدرس، تهران، ایران.

پست الکترونیکی: [Torabighodrat@yahoo.com](mailto:Torabighodrat@yahoo.com)

۲- دانشکده علوم زمین دانشگاه کانازاوا، ژاپن.

۳- مرکز تحقیقات و توسعه متالورژی، قاهره، مصر.

۴- سازمان زمین شناسی و اکتشافات معدنی کشور.

(دریافت مقاله ۱۳۸۲/۸/۶ ، دریافت نسخه نهایی ۱۳۸۲/۱۲/۱۲)

**چکیده:** در شمال منطقه انارک در درون سنگ‌های افیولیتی پروتروزوئیک بالایی، رودینگیت‌ها و سنگ‌های رودینگیتی به دو صورت توده‌ای و رگه‌ای وجود دارند. در این مجموعه افیولیتی، دو نسل از رودینگیت‌های رگه‌ای را می‌توان مشاهده کرد. رودینگیت‌های توده‌ای یا استاتیک مربوط به زمان گسترش پوسته اقیانوسی و تشکیل افیولیت، رودینگیت‌های رگه‌ای یا دینامیک مربوط به زمان جایگیری افیولیت شمال انارک، یا فعالیت‌های زمین‌ساختی می‌باشند. کانیهای موجود در رودینگیت‌های توده‌ای به ترتیب فراوانی عبارتند از: گارنت (آندرادیت کرم‌دار)، ایدوکراز، کلریت، دیوپسید، پرنیت، و اپیدوت. در حالی که ترتیب فراوانی کانیهای موجود در رودینگیت‌های رگه‌ای نسل اول به صورت دیوپسید، کلریت، ایدوکراز، و گارنت (آندرادیت تیتان دار)، و در رودینگیت‌های رگه‌ای نسل دوم به صورت دیوپسید، کلریت، و گارنت (آندرادیت) است. بررسی‌های سنگ‌شناسی، و ژئوشیمی کانی‌ها نشان می‌دهد که در زمان تشکیل رودینگیت‌های توده‌ای، فعالیت یون‌های کلسیم، آهن، و کرم، و در زمان تشکیل رودینگیت‌های رگه‌ای نسل اول فعالیت یون‌های کلسیم، سیلیسیم، منیزیم، آلومینیوم، تیتانیوم، و  $\text{OH}^-$  بالاتر بوده است. در مورد رودینگیت‌های رگه‌ای نسل دوم نیز می‌توان گفت که شبیه رودینگیت‌های رگه‌ای نسل اول بوده و تنها به دلیل عدم وجود ایدوکراز، و نبود Ti در ساختار آندرادیت، فعالیت یون‌های Fe, Ti و Al نسبت به رودینگیت‌های رگه‌ای نسل اول کمتر است. به طور کلی رودینگیت‌های توده‌ای نسبت به رودینگیت‌های رگه‌ای تنوع کانی‌شناسی بیشتری دارند.

واژه‌های کلیدی: کانی‌شناسی، ژئوشیمی، افیولیت، پریدوتیت‌های سرپانتینی شده، دایک‌ها، توده‌های نفوذی، رودینگیت‌ها.

## مقدمه

رودینگیته سنگی است که از نظر کلسیم غنی، از نظر آلکالی فقیر، و از نظر  $\text{SiO}_2$  اشباع شده است. این سنگ در اثر متازوماتیسم قطعات لیتیک در سنگ‌های اولترامافیک سرپانتینی شده تشکیل می‌شود. رودینگیته‌ها بیشتر شامل سیلیکات‌های کلسیم-آلومینیوم، کلسیم-منیزیم (مثل گروسولار، اپیدوت، پرهنیت، ایدوکرز، و دیوپسید)، و کلریت‌های منیزیم هستند. رودینگیته شدن سنگ‌های مختلف در مجموعه‌های افیولیتی را مرتبط با پدیده سرپانتینی شدن در دماهای پایین می‌دانند [۱ و ۴]. دمای تشکیل رودینگیته‌ها هیچگاه از ۵۰۰ درجه سانتی‌گراد فراتر نمی‌رود [۵].

با استفاده از شاره‌های درگیر موجود در رودینگیته‌ها می‌توان به زمین‌گرماسنجی پدیده سرپانتینی شدن پرداخت [۶]. همچنین با استفاده از ترکیب این شاره‌ها می‌توان به ماهیت شاره‌های مهاجم و نیز شرایط فیزیکوشیمیایی سرپانتینی و رودینگیته شدن پی برد [۷ تا ۹]. علاوه بر کانی‌شناسی و ژئوشیمی کانیهای رودینگیته که اطلاعات با ارزشی از رودینگیته شدن به دست می‌دهد، کانی‌شناسی دیواره سیاه<sup>۱</sup> توده‌ها و دایک‌های رودینگیته نیز داده‌های مهمی در مورد شرایط دگرگونی دایک و یا توده‌های نفوذی به دست می‌دهد. بدین صورت که اگر دیواره سیاه موجود در حاشیه رودینگیته‌ها از کانیهای همچون کلریت، دیوپسید، ترمولیت و مقادیر کمی آپاتیت و اسفن تشکیل شده باشد، بیانگر دگرگونی در رخساره شیست سبز [۱ و ۹]، و اگر از مجموعه کانیهای همچون بیوین فورستریتی، انستاتیت و اسپینل تشکیل شده باشد شاخص دگرگونی در رخساره‌های متوسط تا بالاست [۱۰]. دیواره سیاه رودینگیته‌ها در حاشیه بیرونی رودینگیته‌ها و به صورت لایه‌ای نازک، بخش رودینگیته شده دایک اصلی را پوشانده و از شرکت پریدوتیت‌های سرپانتینی شده در پدیده رودینگیته شدن بدست می‌آیند. از بررسی‌های صورت گرفته در منطقه انارک و افیولیت انارک که رودینگیته‌های مورد مطالعه در آن دیده می‌شوند می‌توان به موارد زیر اشاره کرد:

- در مرجع [۱۱]، سن مطلق شیست‌های انارک با استفاده از روش Rb-Sr در حدود ۸۴۵ میلیون سال، و با روش K-Ar،  $203 \pm 13$  و ۱۹۰-۱۸۳ میلیون سال گزارش شده است.  
- در مرجع [۱۲] منطقه انارک برای تهیه نقشه زمین‌شناسی در مقیاس ۱/۲۵۰۰۰۰ بررسی شده است.

- در مرجع [۱۳]، جایگاه اصلی افیولیت انارک نواحی هرات (افغانستان) در نظر گرفته شده است که پس از چرخش خرده قاره شرق-ایران مرکزی (CEIM)<sup>۲</sup> به این محل منتقل شده

1- Black wall

2- Central-East Iran Microplate

است. در این مرجع، افیولیت شمال انارک به عنوان بازمانده پالتوتیس فرض شده و سن دگرگونه‌های انارک را هرسی نین در نظر گرفته‌اند.

- براساس مرجع [۱۴]، افیولیت شمال انارک به صورت بین لایه‌ای درون دگرگونه‌های انارک دیده می‌شوند. این افیولیت مربوط به پالئوزوئیک بوده و با افیولیت‌های مزوزوئیک که در غرب عشین و زوار، و شمال نایین قرار دارند کاملاً متفاوت است.

- زمین‌شناسان روسی نیز در گزارش پایانی پروژه زمین‌شناسی منطقه انارک [۱۵]، سن دگرگونه‌های انارک را پروتروزوئیک بالایی تا پالئوزوئیک زیرین دانسته و افیولیت شمال انارک را به عنوان افیولیتی با سن نامعلوم معرفی کرده‌اند.

- در مرجع [۱۶]، افیولیت انارک جزء افیولیت‌های پالئوزوئیک ایران معرفی شده و ویژگی‌های زمین‌شناسی، ژئوشیمیایی و ژئودینامیکی آن بررسی شده است.

- در مرجع [۱۷] که پترولوژی افیولیت انارک بررسی شده است، سن افیولیت انارک پروتروزوئیک بالایی گفته شده است.

- مرجع [۱۸] به بررسی فازهای مختلف در دگرگونه‌های انارک پرداخته است.

- در مرجع [۱۹] نیز افیولیت انارک به‌عنوان افیولیت نابرجا معرفی شده که از نظر سنی کهن‌تر از تمام واحدهای سنگی منطقه، و دارای سن پروتروزوئیک بالایی، و متعلق به پان-آفریکن دانسته شده است.

- رودینگیته‌های موجود در این مجموعه افیولیتی، تنها توسط ترابی مطالعه شده است [۲۰].

- پدیده رودینگیته شدن در سنگ‌های بازیک افیولیت‌های ایران زمین در مرجع [۲۱] بررسی شده است.

### روش مطالعه

به منظور بررسی کانی‌شناسی و ژئوشیمی دایک‌ها و کانیه‌های رودینگیته موجود در افیولیت شمال انارک، علاوه بر بررسی‌های صحرایی تعداد ۲۰ نمونه از دایک‌ها و توده‌های نفوذی رودینگیته موجود در پریدوتیت‌های سرپانتینی‌شده گشته، و تعداد ۱۰ نمونه از رگه‌های کانیه‌های رودینگیته موجود در پریدوتیت‌های سرپانتینی شده گشته و دایک‌های رودینگیته، برای تهیه مقطع نازک و بررسی‌های سنگ‌شناسی انتخاب شدند. از این مقاطع نازک، تعداد ۶ مقطع برای بررسی‌های ژئوشیمی کانی‌ها با استفاده از ریزگمانه‌زن در دانشگاه کاناواوا ژاپن، انتخاب و از آنها مقاطع نازک صیقلی تهیه شد. ۶ نمونه از کانیه‌های موجود در رگه‌های رودینگیته پس از جداسازی، به همراه یک نمونه از دایک‌های رودینگیته نیز به روش فعال سازی نوترونی (NAA) در مرکز تحقیقات و تولید سوخت هسته‌ای اصفهان آنالیز شد. تعداد ۴ نمونه از رگه‌ها و یک نمونه از دایک‌های رودینگیته نیز به روش XRD در سازمان انرژی اتمی و سازمان زمین‌شناسی ایران (تهران) بررسی شدند. از آنجا که بهترین رخنمون رودینگیته‌های توده‌ای و رگه‌ای در اطراف معدن هالو حیدر و بخش‌های جنوب‌غربی چاه درختک قرار دارد،

نمونه‌هایی که مورد بررسی‌های XRD، NAA و ریزگمانه‌زن قرار گرفتند از این مناطق انتخاب شدند. در آنالیز کانی‌ها با استفاده از دستگاه ریزگمانه‌زن الکترونی نیز ریزگمانه‌زن JEOL مدل JXA-8800 (WDS) استفاده شد.

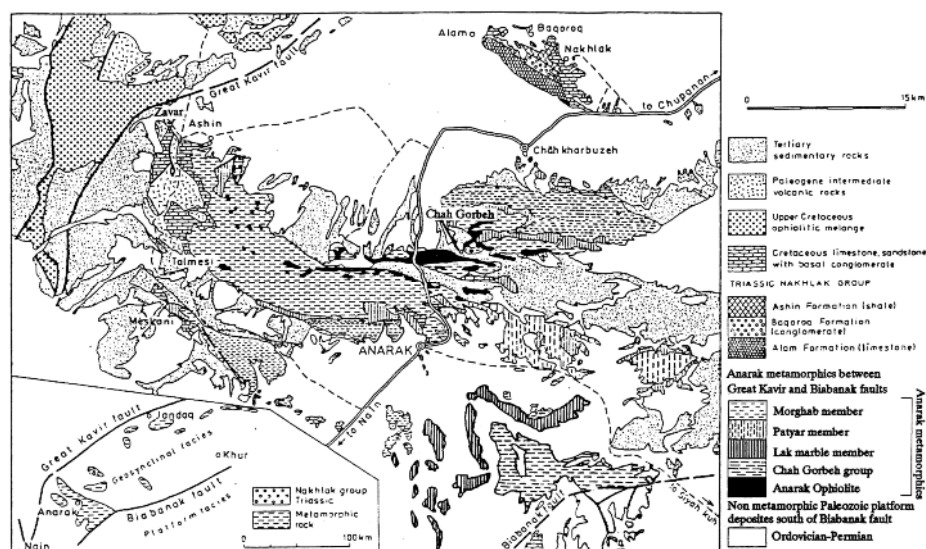
### کالبد زمین‌شناختی

منطقه مورد بررسی از نظر تقسیمات زمین‌شناسی ایران، جزئی از ایران مرکزی بوده و در کناره جنوبی دشت کویر، ۱۸ کیلومتری شمال شهر انارک، در دامنه‌های جنوبی کوه چاه‌گره و دامنه‌های شمالی کوه دره انجیر قرار دارد. در شمال منطقه انارک، گستره وسیعی از سنگ‌های اوالترامافیک- مافیک با سن پروتروزوئیک بالایی تحت نام افیولیت انارک وجود دارد که قدیمی‌ترین واحد سنگی منطقه بوده و در زیر سنگ‌های دگرگونی با سن پروتروزوئیک بالایی - کامبرین زیرین قرار دارد (شکل‌های ۱ و ۲). سنگ‌های این مجموعه افیولیتی شامل سرپانتینیت و پریدوتیت‌های سرپانتینی شده گوشته، سنگ‌های کومولایی، گابرو، گدازه‌های بالشی، دایک‌های مافیک و الترامافیک، رودینگیت و لیسونیت است. در مورد پلاژیوگرانیت‌های موجود در افیولیت انارک، بررسی‌های صحرایی نشان می‌دهد که این واحد سنگی جوانترین واحد بوده و علاوه بر گدازه‌های بالشی، شیبست‌های چاه‌گره را نیز قطع و آنها را هورنفلسی کرده است. در افیولیت شمال انارک، رودینگیت‌ها را به صورت دایک‌ها و توده‌های نفوذی رودینگیتی شده (توده‌ای) و یا به صورت رگه‌هایی از کانیهای رودینگیتی درون پریدوتیت‌های سرپانتینی شده گوشته و دایک‌های رودینگیتی (رگه‌ای) می‌توان مشاهده کرد. بهترین رخنمون رودینگیت‌ها در این مجموعه افیولیتی در بخش‌های جنوب- جنوب غرب چاه درختک، کن مس، هالو حیدر، چاه شوره، و شمال شرق چاه مهدی قرار دارد. در بخش‌های شمال غربی منطقه انارک، در غرب عشین و زوار نیز سنگ‌های افیولیتی مزوزوئیک دیده می‌شوند که به صورت چشمگیری با افیولیت شمال انارک تفاوت دارند (شکل ۲).





شکل ۱ افیولیت های ایران و افیولیت های منطقه مورد مطالعه.



شکل ۲ نقشه زمین شناسی منطقه انارک (شمال غرب استان اصفهان، ایران). (اقتباس از [۱۰]). با تغییرات در مورد افیولیت انارک، دگرگونه های انارک، و افیولیت ملانژ کرتاسه عشین - زوار.

### بررسی دستاوردها

هرگاه یک دایک یا توده نفوذی بازیک یا اولترابازیک، یک سرزمین اولترابازیک را قطع کند و پس از این حادثه سنگ‌های اولترامافیک میزبان سرپانتینی شوند، دایک‌ها و توده‌های نفوذی فوق که بنیان آنها از پیروکسن و پلاژیوکلاز است، در اثر تبدلات متازوماتیک با شاره، که در سنگ‌های میزبان شارش دارند تبدیل به سنگ‌هایی می‌شوند که به آنها رودینگیت می‌گویند. رودینگیت‌ها دارای پارائزهای بسیار گوناگونی هستند، ولی همه آنها دارای کانیهای متازوماتیک غنی از کلسیم هستند که از آن جمله می‌توان دیوپسید، گروسولار و هیدروگروسولار، آندرادیت، وزوویانیت (ایدوکراز)، پرهنیت، اپیدوت، کلریت، زنوتلیت. را نام برد. در مواردی ممکن است که شاره‌های مهاجم در مجموعه‌های افیولیتی، سنگ‌هایی مثل آهک‌ها و یا چرت‌ها را مورد هجوم قرار داده و آنها را تبدیل به سنگ‌های رودینگیتی کنند.

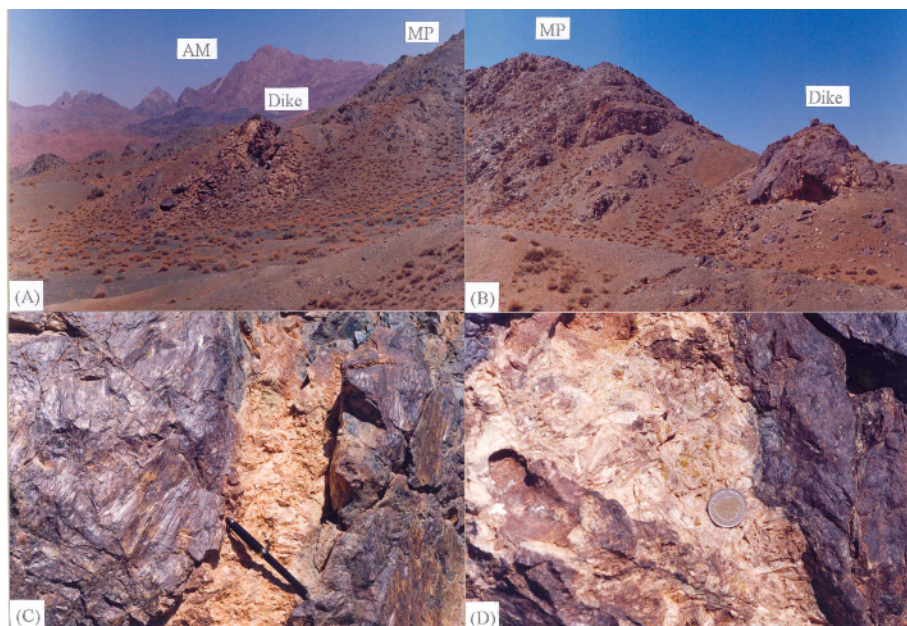
بی تردید منشأ یون کلسیم، سرپانتینی شدن الیوین‌ها و پیروکسن‌هاست، و چون این یون نمی‌تواند در شبکه سرپانتین وارد شود در شاره مانده و آماده است تا با یک کانی واکنش دهد.

این شاره دارای پتانسیل شیمیایی بالایی از نظر یون کلسیم بوده و آماده اثرگذاری و حرکت به سمتی است که پتانسیل کلسیم در آن ناچیز است. با آن که پلاژیوکلازهای موجود در دایک‌های بازیک دارای کلسیم هستند، ولی از آن جا که کلسیم موجود در شبکه پلاژیوکلازها فعال نیست، لذا پتانسیل شیمیایی کلسیم در آنها بسیار ناچیز است. در این حالت یک گرادیان پتانسیل شیمیایی ایجاد می‌شود که حرکت یونهای کلسیم از سوی سنگ سرپانتینی شده میزبان به سمت دایک یا توده نفوذی آغاز می‌شود. بنابراین کانیهای کلسیک درون دایک در معرض هجوم یک شاره غنی از کلسیم با پتانسیل شیمیایی بالا، پایداری خود را از دست داده و متلاشی می‌شوند. این تلاشی تا جایی پیش می‌رود که گرادیان پتانسیل شیمیایی از بین رفته و شرایط تعادل شیمیایی برقرار شود. از این رهگذر، کانیهای متازوماتیک به خرج کانیهای اولیه در دایک‌ها و توده‌های بازیک و الترابازیک به وجود می‌آیند. کلینوپیروکسن‌های اولیه که اغلب پیجونیت و اوژیت هستند، یا به دیوپسید (در شرایط  $X_{CO_2}$  پایین) و یا به ترمولیت و اکتینولیت (در شرایط  $X_{CO_2}$  بالا) تبدیل می‌شوند [۵ و ۷]. بنابراین رودینگیته‌ها محصول تراز شیمیایی کلسیم بین سر پانتینیت‌ها، دایک‌ها، و توده‌های نفوذی بازیک یا اولترابازیک موجود در آنها هستند [۲۱]. تمام مطالب فوق، در مورد دایک‌ها و توده‌های نفوذی موجود در افیولیت انارک نیز مشاهده شده‌اند.

چنانکه در مقدمه آورده شد، در افیولیت انارک سنگ‌های رودینگیته به دو صورت توده‌ای یا رگه‌ای دیده می‌شوند. رودینگیته‌های توده‌ای اغلب دایک‌ها و توده‌های نفوذی رودینگیته‌ای شده هستند که درون پریدوتیت‌های سرپانتینی شده گوشته قرار دارند. رودینگیته‌های رگه‌ای نیز به صورت رگه‌هایی از کانیهای رودینگیته در درون شکستگی‌های موجود درون پریدوتیت‌های سرپانتینی شده گوشته و دایک‌های رودینگیته دیده می‌شوند. ضخامت رودینگیته‌های رگه‌ای گاهی به ۴۰ سانتی‌متر نیز می‌رسد. کانیهای موجود در این رگه‌ها بسیار درشت بوده و در برخی موارد رگه‌های تک‌کانی به خوبی قابل مشاهده هستند (شکل ۳). رودینگیته‌های رگه‌ای در افیولیت انارک در دو فاز تشکیل شده‌اند. فاز دوم رودینگیته‌های رگه‌ای که رودینگیته‌های توده‌ای و رودینگیته‌های رگه‌ای نسل اول را قطع کرده است، حجم زیادی را به خود اختصاص نمی‌دهند.

بررسی‌ها نشان می‌دهد که تشکیل رودینگیته‌های توده‌ای مربوط به زمان تولید و گسترش پوسته اقیانوسی بوده و آنها را می‌توان رودینگیته‌های استاتیک نامید. در حالی که تشکیل رودینگیته‌های رگه‌ای مربوط به زمان جایگیری افیولیت انارک و یا فعالیت‌های تکتونیکی بوده و در مورد آنها می‌توان از اصطلاح رودینگیته‌های دینامیک استفاده کرد. با توجه به بررسی‌های صحرائی، سنگ‌شناسی و تعریف بالا، مشخص می‌شود که رودینگیته‌های رگه‌ای (دینامیک) جوانتر از رودینگیته‌های توده‌ای (استاتیک) هستند.

رودینگیته شدن‌های استاتیک و دینامیک در تطابق کامل با سرپانتینی‌شدن‌های استاتیک و دینامیک است. هنگام سرپانتینی‌شدن دینامیک، دایک‌های بازیک که بسیار شکننده هستند شدیداً دچار دگرشکلی شده و یک گرادیان نفوذپذیر بین سرپانتینیت‌های پلاستیک و دایک‌های بازیک شکننده ایجاد می‌شود که باعث هجوم شاره‌های فعال به سمت دایک‌های بازیک می‌شود. رودینگیته شدن استاتیک باعث تشکیل رودینگیته‌های با بافت گرانوبلاستیک می‌شود. در حالی که رودینگیته شدن دینامیک باعث تشکیل رودینگیته‌های رگه‌ای می‌شود.



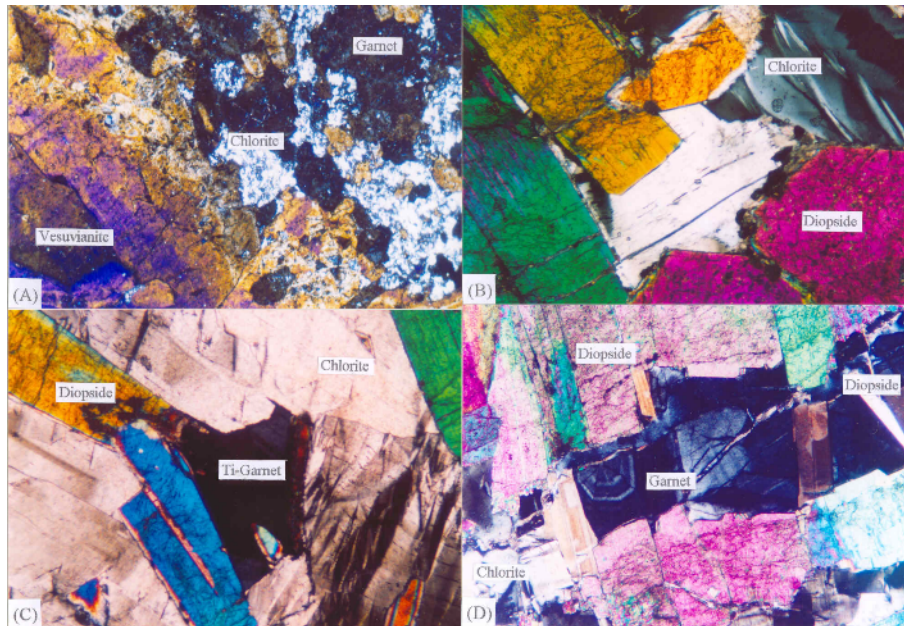
شکل ۳ تصاویر صحرایی رودینگیته‌های موجود در افیولیت شمال انارک (شمال شرق استان اصفهان). (A): دایک رودینگیته شده درون پریدوتیت‌های سرپانتینی شده گوشته (MP)، و دگرگونه‌های انارک (AM) (نگاه به شمال). (B): دایک رودینگیته درون پریدوتیت‌های سرپانتینی شده گوشته، در جنوب شرقی چاه درختک (نگاه به جنوب). (C) و (D): رودینگیته‌های رگه‌ای (بخش روشن) در درون رودینگیته‌های توده‌ای (بخش تیره).

بنابر بررسی‌های صحرایی، سنگ‌نگاری مقاطع نازک، و استفاده از پراش پرتو ایکس (XRD)، کانیهای موجود در رودینگیته‌های توده‌ای به ترتیب فراوانی عبارتند از: گارنت (آندرادیت کرم‌دار)، ایدوکراز (وزوویانیت)، کلریت، دیوپسید، پره‌نیت، و اپیدوت. درحالی که ترتیب فراوانی کانیهای موجود در رودینگیته‌های رگه‌ای نسل اول به صورت دیوپسید، کلریت، ایدوکراز و گارنت، و در رودینگیته‌های رگه‌ای نسل دوم به صورت دیوپسید، کلریت، و گارنت (آندرادیت) است (شکل ۴). فراوانی دیوپسید و کلریت در رودینگیته‌های رگه‌ای نسل اول به

یکدیگر نزدیک است. فراوانی کانیهای مختلف در رودینگیتهای افیولیت انارک در جدول ۱ آورده شده است.

جدول ۱ میانگین فراوانی کانی های مختلف در رودینگیتهای افیولیت انارک.

Mineral Type Rodingite	Garnet	Idocrase	Diopside	Chlorite	Phehnite	Epidote
Massive Type Rodingite	%۴۰	%۳۸	%۳	%۱۳	%۴	%۲
Vein Type Rodingite (Phase 1)	%۵	%۱۵	%۴۲	%۳۸	---	---
Vein Type Rodingite (Phase 2)	%۱۰	---	%۵۵	%۳۵	---	---



شکل ۴ تصاویر میکروسکوپی رودینگیتهای افیولیت شمال انارک (شمال شرق استان اصفهان) (بزرگنمایی ۲۰ برابر). (A): تصویری از رودینگیتهای توده‌ای با کانی‌های گارنت، وزویانیت (ایدوکراز)، و کلریت. (B) و (C): تصویر رودینگیتهای رگه‌ای فاز اول با کانی‌های دیوپسید، کلریت، و گارنت تیتان‌دار. (D): رودینگیتهای رگه‌ای فاز دوم با کانی‌های گارنت، کلریت و دیوپسید، که رودینگیتهای رگه‌ای فاز اول را قطع کرده است.

برای بررسی ترکیب شیمیایی کانیهای رودینگیتهای از دستگاه ریزگمانه‌زن استفاده شد که میانگین نتایج آنالیز این کانی‌ها، محاسبه فرمول ساختاری آنها، و نیز درصد اعضای نهایی محلول‌های جامد، در جدول‌های ۲ و ۳ آورده شده‌اند. بررسی نتایج حاصل از آنالیز نقطه‌ای کانی‌ها نشان می‌دهد که:

۱- کانی گارنت در هر دو نوع از رودینگیت‌های افیولیت انارک وجود داشته و ترکیب عمومی آن

Phase	Massive Type Rodingite			Vein Type Rodingite (Phase 1)			Vein Type Rodingite (Phase 2)			
	Garnet	Chlorite	Idocrase	CPX	Chlorite	Idocrase	Garnet	CPX	Chlorite	Garnet
Avg. Points	۶	۱	۲	۶	۲	۵	۴	۳	۱	۲
SiO <sub>2</sub>	۳۶/۶۸۳	۲۹/۸۶۹	۳۷/۵۲۶	۵۴/۵۷۰	۳۲/۱۷۲	۳۶/۹۴۳	۳۳/۰۳۳	۵۶/۶۸۳	۳۲/۳۴۹	۳۶/۳۱۳
TiO <sub>2</sub>	۰/۲۸۷	۰/۰۲۱	۰/۰۸۳	۰/۰۰۷	۰/۰۰۶	۱/۰۴۴	۱/۰۶۸۵	۰/۰۱۰	۰/۰۲۱	۰/۴۵۳
Al <sub>2</sub> O <sub>3</sub>	۳/۲۳۳	۱۸/۱۱۸	۱۷/۴۷۷	۰/۰۶۳	۱۵/۶۷۷	۱۳/۲۸۸	۱/۱۴۶	۰/۰۰۳	۱۶/۲۶۱	۳/۰۲۵
Cr <sub>2</sub> O <sub>3</sub>	۰/۹۹۷	۰/۰۱۴	۰/۰۰۰	۰/۰۰۲	۰/۰۰۴	۰/۰۰۲	۰/۰۱۸	۰/۰۱۰	۰/۰۰۰	۰/۰۰۰
FeO*	۲۲/۶۲۷	۱۰/۷۱۰	۲/۷۵۲	۲/۱۲۴	۵/۸۷۲	۳/۳۴۹	۱۷/۴۸۰	۱/۸۲۵	۶/۰۹۸	۲۳/۷۹۶
MnO	۰/۱۶۹	۰/۱۵۰	۰/۰۳۳	۰/۲۱۰	۰/۱۷۱	۰/۰۴۸	۰/۱۴۴	۰/۲۲۶	۰/۱۷۵	۰/۰۶۰
MgO	۰/۰۲۲	۲۴/۷۷۰	۲/۷۱۶	۱۵/۵۷۶	۲۹/۵۶۴	۲/۸۱۸	۰/۸۵۹	۱۵/۶۶۳	۲۹/۳۹۰	۰/۰۹۵
CaO	۳۶/۰۴۸	۰/۰۴۷	۳۳/۳۶۵	۲۷/۰۵۷	۰/۲۷۶	۳۸/۶۰۸	۳۶/۷۴۲	۲۷/۲۵۶	۰/۰۰۴	۳۶/۴۳۳
Na <sub>2</sub> O	۰/۰۰۹	۰/۰۲۱	۰/۰۱۶	۰/۰۲۵	۰/۰۰۰	۰/۰۰۱	۰/۰۰۷	۰/۰۰۴	۰/۰۰۰	۰/۰۰۱
K <sub>2</sub> O	۰/۰۰۹	۰/۰۱۵	۰/۰۰۹	۰/۰۱۹	۰/۰۱۲	۰/۰۰۹	۰/۰۱۷	۰/۰۰۵	۰/۰۲۳	۰/۰۲۲
NiO <sub>2</sub>	۰/۰۰۷	۰/۰۲۷	۰/۰۱۳	۰/۰۰۸	۰/۰۴۲	۰/۰۰۳	۰/۰۰۳	۰/۰۰۶	۰/۰۶۳	۰/۰۰۰
Total	۱۰۰/۰۹۰	۸۳/۷۶۲	۹۳/۹۸۷	۹۹/۹۶۰	۸۳/۷۹۳	۹۹/۱۱۴	۱۰۰/۱۳۴	۹۹/۶۹۱	۸۴/۳۸۴	۱۰۰/۱۹۷
Oxyg. Atm.	۲۴	O <sub>10</sub> (OH) <sub>8</sub>	۳۶	۶	O <sub>10</sub> (OH) <sub>8</sub>	۳۶	۲۴	۶	O <sub>10</sub> (OH) <sub>8</sub>	۲۴
Si	۶/۳۶۶	۳/۰۳۳	۹/۱۱۵	۲/۰۰۰	۳/۱۸۳	۸/۸۷۵	۵/۶۸۱	۲/۰۰۵	۳/۱۷۷	۶/۳۳۵
Ti	۰/۰۲۷	۰/۰۰۲	۰/۰۱۵	۰/۰۰۰	۰/۰۰۰	۰/۱۸۸	۱/۳۸۱	۰/۰۰۰	۰/۰۰۲	۰/۰۰۹
Al	۰/۶۵۴	۲/۱۶۸	۵/۰۰۲	۳/۰۰۳	۱/۸۲۸	۳/۷۶۲	۰/۲۳۲	۰/۰۰۰	۱/۸۸۲	۰/۶۱۳
Cr	۰/۱۳۵	۰/۰۰۱	۰/۰۰۰	۰/۰۰۰	۰/۰۰۰	۰/۰۰۰	۰/۰۰۲	۰/۰۰۰	۰/۰۰۰	۰/۰۰۰
Fe <sup>2+</sup>	۳/۲۷۶	۰/۹۰۹	۰/۵۵۹	۰/۰۶۵	۰/۴۸۶	۱/۲۷۵	۲/۵۱۳	۰/۰۵۶	۰/۵۰۱	۳/۴۵۲
Mn	۰/۰۲۴	۰/۰۱۳	۰/۰۰۷	۰/۰۰۶	۰/۰۱۴	۰/۰۱۰	۰/۰۲۱	۰/۰۰۷	۰/۰۱۵	۰/۰۰۹
Mg	۰/۰۰۶	۳/۷۴۶	۰/۹۸۳	۰/۸۶۰	۴/۳۵۷	۱/۰۰۸	۰/۲۲۰	۰/۸۵۵	۴/۲۹۹	۰/۰۲۴
Ca	۶/۷۰۱	۰/۰۰۵	۶/۶۸۰	۱/۰۶۲	۰/۰۲۹	۹/۹۳۴	۶/۷۶۷	۱/۰۷۰	۰/۰۰۰	۶/۸۰۶
Na	۰/۰۰۳	۰/۰۰۴	۰/۰۰۷	۰/۰۰۲	۰/۰۰۰	۰/۰۰۱	۰/۰۰۲	۰/۰۰۰	۰/۰۰۰	۰/۰۰۰
K	۰/۰۰۲	۰/۰۰۲	۰/۰۰۳	۰/۰۰۱	۰/۰۰۱	۰/۰۰۳	۰/۰۰۴	۰/۰۰۰	۰/۰۰۳	۰/۰۰۵
Ni	۰/۰۰۱	۰/۰۰۲	۰/۰۰۲	۰/۰۰۰	۰/۰۰۳	۰/۰۰۱	۰/۰۰۰	۰/۰۰۰	۰/۰۰۴	۰/۰۰۰
Total	۱۷/۲۰۵	۹/۸۸۴	۲۴/۳۷۳	۴/۰۰۰	۹/۹۰۳	۲۵/۰۵۷	۱۶/۸۲۴	۳/۹۹۵	۹/۸۸۲	۱۷/۳۰۳

آندرادیت (High-Andradite Garnet) با فرمول  $Ca_3(Fe^{3+}, Ti)_2Si_3O_{12}$  است. گارنت موجود در رودینگیت‌های توده‌ای دارای  $Cr_2O_3$  قابل توجهی بوده و می‌توان آنرا نوعی آندرادیت کرم‌دار (Chromian Andradite) نامید. در حالیکه گارنت‌های موجود در رودینگیت‌های رگه‌ای نسل اول از نوع آندرادیت تیتان‌دار (Titanium-Andradite)، و در رودینگیت‌های رگه‌ای نسل دوم از نوع آندرادیت معمولی است. آندرادیت‌های تیتان‌دار نسبت به آندرادیت‌های معمولی دارای  $SiO_2$  و  $FeO^*$ ،  $Al_2O_3$  کمتری بوده در حالیکه  $MgO$  و  $TiO_2$  بالاتری دارند. مقدار کلسیم در همه آندرادیت‌ها شبیه به یکدیگر است.

جدول ۲ میانگین نتایج آنالیز کانی‌های موجود در فازهای مختلف رودینگیت در افیولیت انارک با استفاده از ریزگمانه‌زن الکترونی. محاسبه فرمول ساختاری این کانی‌ها نیز آورده شده است.

جدول ۳ محاسبه درصد اعضای پایانی محلول‌های جامد در مورد گارنت‌ها

و پیروکسن‌های موجود در رودینگیت‌های افیولیت انارک.

Garnet

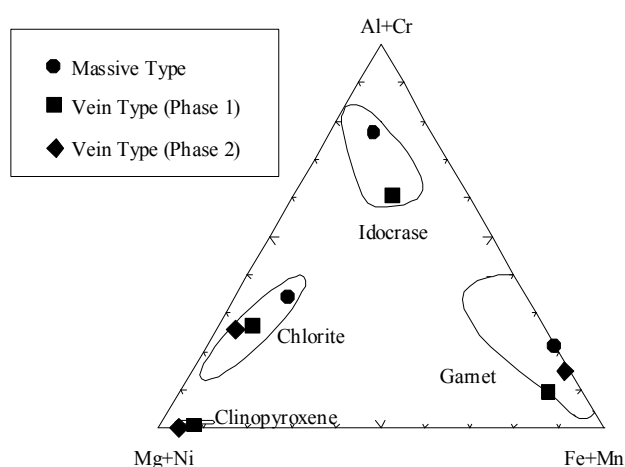
Phase	Massive Type	Vein Type Phase 1	Vein Type Phase 2
Pyrope	٪۰،۰۵۷	٪۲،۳۱۲	٪۰،۲۴۰
Almandine	٪۳۲،۷۸۲	٪۲۶،۳۹۲	٪۳۳،۳۶۵
Grossular	٪۶۶،۹۱۳	٪۷۱،۰۷۵	٪۶۶،۰۱۹
Spessartine	٪۰،۲۴۸	٪۰،۲۲۰	٪۰،۰۸۶
Clinopyroxene			
Phase	Vein Type Phase 1	Vein Type Phase 2	
Wollastonite	٪۵۲،۰۳	٪۵۳،۸۰	
Enstatite	٪۳۰،۴۳	٪۴۳،۰۲	
Ferrosilite	٪۳،۵۷	٪۳،۱۷	
Acmite	٪۰،۰۹	٪۰،۰۱	

۲- کانی ایدوکراز با فرمول عمومی  $\text{Ca}_{10}(\text{Mg, Fe})_2\text{Al}_4[\text{Si}_4\text{O}_7]_2[\text{SiO}_4]_5(\text{OH, F})_4$ . هم در رودینگیت‌های توده‌ای و هم در رودینگیت‌های رگه‌ای نسل اول دیده می‌شود. ایدوکرازهای موجود در رودینگیت‌های توده‌ای نسبت به ایدوکرازهای رودینگیت‌های رگه‌ای نسل اول دارای  $\text{Al}_2\text{O}_3$  بالاتر و  $\text{Fe}$ ,  $\text{Ca}$  و اغلب  $\text{TiO}_2$  کمتری هستند. ایدوکرازهای موجود در رودینگیت‌های توده‌ای دارای  $\text{OH}^-$  یا  $\text{H}_2\text{O}^+$  بالاتری هستند.

۳- کانی کلریت با فرمول عمومی  $(\text{Mg, Al, Fe})_{12}[(\text{Si, Al})_8\text{O}_{20}](\text{OH})_{16}$ . هم در رودینگیت‌های توده‌ای و هم در رودینگیت‌های رگه‌ای یافت می‌شود. کلریت‌های درون رودینگیت‌های توده‌ای دارای  $\text{MnO}$ ,  $\text{MgO}$  و  $\text{SiO}_2$  کمتر، و  $\text{Al}_2\text{O}_3$  و  $\text{FeO}^*$  بیشتری هستند. کلریت‌های موجود در رودینگیت‌های منطقه از نوع  $\text{Mg-Chlorite}$  هستند. کلریت‌های موجود در رودینگیت‌های رگه‌ای نسل اول و دوم دارای ترکیب مشابهی هستند.

۴- کانی دیوپسید با فرمول عمومی  $(\text{Ca, Mg})[\text{Si}_2\text{O}_6]$  در رودینگیت‌های رگه‌ای دارای فراوانی بسیار زیاد بوده، در حالی که در رودینگیت‌های توده‌ای دارای فراوانی کمتری است. دیوپسیدهای موجود در رودینگیت‌های توده‌ای بر دو نوعند. بدین صورت که برخی از آنها باقیمانده دیوپسیدهای موجود در سنگ اولیه بوده و برخی نیز دیوپسیدهای تشکیل شده در اثر پدیده رودینگیتی شدن هستند. تفکیک این کانی‌ها در بررسی‌های سنگ‌شناسی این گونه است که دیوپسیدهای رودینگیتی ریزتر و سالم بوده، در حالی که باقیمانده دیوپسیدهای اولیه، درشت و مات بوده، و دارای پارتینگ و تیغه‌های انحلال در جهت (100) هستند [۲۲]. دیوپسیدهای رگه‌ای نسل اول و دوم از نظر ترکیب شیمیایی شبیه یکدیگرند. دیوپسیدها و گارنت‌های موجود در رودینگیت‌های رگه‌ای نسل دوم از خود منطقه‌بندی نشان می‌دهند که حکایت از وجود نوسانهایی در ترکیب شیمیایی شاره مهاجم دارد. گستره ترکیب شیمیایی کانیهای موجود در رودینگیت‌های افیولیت انارک و میانگین ترکیب آنها نیز در شکل ۵ آورده شده است. پر واضح است که نوع کانیهای موجود در رودینگیت‌ها به ترکیب فیزیکی و شیمیایی

شماره‌های مهاجم، نوع پریدوتیت‌های سرپانتینی شده گوشته، و نیز ترکیب سنگی که در جوار پریدوتیت‌های در حال سرپانتینی شدن قرار دارد (اغلب دایک و توده نفوذی)، بستگی دارد. بنابراین با بررسی ترکیب کانیهای رودینگیتی، بررسی باقیمانده‌های دایک یا توده نفوذی برای تعیین نوع سنگ اولیه، و دانستن نوع پریدوتیت‌های سرپانتینی شده می‌توان تا حدود زیادی به ماهیت شماره‌های مهاجم پی برد [۲۳]. بررسی‌های صحرایی و سنگ‌شناسی نشان می‌دهد که نوع پریدوتیت‌های گوشته در این افیولیت بیشتر از نوع لرزولیت بوده، سنگ اولیه دایک‌های رودینگیتی موجود در هالوحیدر و درختک نیز گابرو بوده است.



شکل ۵ گستره ترکیب شیمیایی کانی‌های موجود در رودینگیت‌های افیولیت انارک و میانگین ترکیب آنها در نمودار مثلثی (Mg+Ni), (Al+Cr) و (Fe+Mn).

با در نظر گرفتن نسبت فراوانی کانیهای مختلف در رودینگیت‌های توده‌ای و رگه‌ای، و نیز بررسی ترکیب این کانی‌ها، می‌توان پی برد که:

- ۱- فعالیت یون  $Si^{4+}$  در فاز ایجاد رودینگیت‌های رگه‌ای بیشتر بوده است، چرا که در این فاز دیوپسید و کلریت کانیهای اصلی هستند.
- ۲- فعالیت یون‌های  $Al^{3+}$  و  $OH^-$  در فاز ایجاد رودینگیت‌های رگه‌ای بالاتر بوده است، چون در این فاز کلریت، کانی اصلی است.
- ۳- فعالیت یون‌های  $Fe$ ,  $Ca^{2+}$  و  $Cr^{3+}$  در فاز ایجاد رودینگیت‌های توده‌ای بیشتر بوده است، چرا که در این فاز آندرادیت کرم‌دار و ایدوکراز کانی اصلی بوده، و در رودینگیت‌های رگه‌ای کلریت جزء کانیهای اصلی است.

۴- فعالیت یون  $Ti^{4+}$  در فاز ایجاد رودینگیت‌های رگه‌ای نسل اول بیشتر بوده است، چرا که در این فاز، کانی آندرادیت تیتان دار حضور داشته است، و علاوه بر این، ایدوکرازهای این نسل از رودینگیت‌ها نیز دارای تیتان قابل توجهی هستند.

۵- فراوانی کانیه‌های غنی از کلسیم در رودینگیت‌های منطقه نیز نشان می‌دهد که شماره مهاجم از نظر یون  $Ca^{2+}$  ابر اشباع بوده است.

دیواره سیاه دایک‌های رودینگیتی افیولیت انارک از کانیه‌های دیوپسید و کلریت تشکیل شده است که بیانگر وجود یک دیواره کلاسیک، و دگرگون شده در رخساره شیست سبز است. تعداد ۶ نمونه از کانیه‌های موجود در رگه‌های رودینگیتی نسل اول نیز پس از جداسازی، به همراه یک نمونه از دایک‌های رودینگیتی برای تعیین ترکیب و بررسی فراوانی عناصر کمیاب، به روش فعال‌سازی نوترونی آنالیز شد که نتایج آن در جدول شماره ۴ آورده شده است. با نگاهی به نتایج آنالیز حاصل از روش فعال‌سازی نوترونی می‌توان به فقیر بودن این سنگ‌ها از نظر عناصر کمیاب و ناسازگار پی‌برد.

جدول ۴ نتایج آنالیز یک دایک رودینگیتی، و کانی‌های رودینگیتی رگه‌ای از افیولیت شمال انارک با استفاده از روش فعال‌سازی نوترونی (NAA). (ppb): \*

Ele./Sam.	Dike	Diopside	Diopside	Chlorite	Chlorite	Idocrase	Garnet
TiO <sub>2</sub> %	۰.۱۰	۵.۰۵	۰.۰۵	۰.۱۲	۰.۱۴	۰.۱۵	۰.۱۴
Al <sub>2</sub> O <sub>3</sub> %	۱۳.۵۹	۰.۵۳	۰.۳۶	۱۴.۵۷	۱۷.۰۱	۱۶.۴۱	۴.۵۴
Fe <sub>2</sub> O <sub>3</sub> %	۴.۲۷	۳.۴۲	۴.۰۸	۷.۶۴	۱۰.۲۰	۴.۴۵	۲۶.۶۲
MnO%	۰.۰۹	۰.۱۷	۰.۱۶	۰.۱۱	۰.۱۴	۰.۰۷	۰.۰۳
MgO%	۱۰.۱۹	۱۲.۷۵	۱۲.۹۰	۲۶.۴۸	۲۴.۰۷	۵.۷۱	۱/۵۶
CaO%	۲۳.۱۰	۲۸.۰۸	۱۲.۳۴	۰.۳۵	۰.۶۹	۳۶.۸۳	۳۶.۶۷
Na <sub>2</sub> O%	۰.۱۹	۰.۰۳	۰.۰۲	۰.۰۲	۰.۰۲	۰.۰۳	۰.۰۹
K <sub>2</sub> O%	۰.۰۵	۰.۰۱	۰.۰۱	۰.۰۱	۰.۰۱	۰.۱۱	۰.۱۲
LOI%	۴.۰۵	۰.۱۲	۰.۱۸	۱۲.۱۰	۱۱.۹۱	-----	-----
Cr	۲۴۷	۵	۱۰	۲۱	۸	۳۵	۱۲
Ni	-----	۶۴	۵۵	۱۱۷	۱۸۲	-----	-----
Co	۴۱	۲۳	۱۸	۷۴	۷۰	۹	۱
Sc	۲۵	۴	۴	۱	۰.۲۶	۱۱	۲
V	۹۱	۱۲	۱۱	۴۴	۷	۳۶	۷۱
Zn	۱۶۴	۳۵	۱۴	۵۵	۱۰۳	۵۵	۳۰<
W	۰.۸۰	۰.۱۸	۰.۳۹	۰.۰۹	۰.۱۰	۰.۱۳	۳.۲۵
As	۰.۶۰	*۸۵	*۸۷	۰.۰۵	۰.۰۵	۰.۰۷	*۸۳
Sb	۰.۰۸	۰.۵۵	۰.۶۱	۰.۸۴	۰.۵۷	۰.۴۸	۰.۲۸
Au	*۴	*۶	*۶	*۶	*۴۲	*۳	*۹
Rb	۲۰	۴	۴	۶	۶	۵	۱۵
Cs	۰.۹۰	۰.۳۴	۰.۳۳	۰.۴۰	۰.۴۰	۰.۴۴	۱
Ga	۵.۸۲	۰.۷۰	۰.۶۰	۵.۰۴	۸.۶۸	۴.۹۰	۳۰
Ta	۰.۳۰	۰.۱۶	۰.۱۳	۰.۱۷	۰.۱۸	۰.۶۰	۰.۴۰
Hf	۰.۳۵	۰.۱۸	۰.۵۹	۰.۲۰	۰.۲۰	۰.۴۹	۰.۵۰
Th	۰.۲۵	۰.۱۸	۰.۱۸	۰.۲۱	۰.۲۳	۱.۴۳	۰.۵۰



U	۰٫۲۵	۰٫۱۴	۰٫۰۶	۰٫۰۶	۰٫۰۷	۰٫۰۹	۰٫۳۱
La	۱٫۲۸	۰٫۵۵	۰٫۴۲	۰٫۶۳	۰٫۳۹	۷٫۶۲	۰٫۰۵
Ce	۴٫۱۹	۰٫۵۰	۱٫۹۴	۰٫۶۰	۰٫۷۰	۱۲٫۵۶	۱٫۸۰
Pr	۷<	۲<	۱٫۷۰<	۳<	۲<	۲<	۷<
Nd	۱۵<	۴<	۴<	۴<	۴<	۵<	۱۱<
Sm	۰٫۵۱	*۵۸	۰٫۲۷	*۴۸	*۵۰	۰٫۶۵	*۹۴
Eu	۰٫۳۲	۰٫۰۵	*۶۶	۰٫۰۵	۰٫۰۵	۰٫۹۰	۰٫۲۵
Gd	۰٫۰۹	۰٫۰۷	۰٫۴۳	۰٫۰۶	۰٫۰۷	۱٫۲۹	۰٫۱۷
Tb	۰٫۱۳	۰٫۰۶	۰٫۰۶	۰٫۰۶	۰٫۰۷	۰٫۰۸	۰٫۱۸
Dy	۰٫۴۶	۰٫۲۶	۰٫۲۷	۰٫۲۳	۰٫۲۹	۰٫۲۷	۰٫۴۰
Ho	۰٫۲۸	۰٫۱۰	۰٫۱۰	۰٫۲۰	۰٫۱۲	۰٫۱۳	۰٫۴۶
Tm	*۴۵	۰٫۱۳	*۳۰	*۹۳	۰٫۱۴	*۵۰	۰٫۲۶
Yb	۰٫۴۳	۰٫۰۵	۰٫۱۵	۰٫۰۶	۰٫۰۶	۰٫۴۰	۰٫۱۵
Lu	*۷۶	*۷	*۳۰	*۸	*۹	*۶۷	*۲۱
Br	۰٫۴۵	۰٫۶۸	۰٫۷۰	۰٫۵۹	۰٫۶۴	۰٫۵۴	۰٫۹۹

### برداشت

به نظر می‌رسد که سیر تشکیل و تکامل رودینگیتهای موجود در مجموعه افیولیتی شمال انارک چنین باشد:

- ۱- مرحله کافتن، تشکیل لیتوسفر اقیانوسی و نفوذ دایکها و توده‌های نفوذی به درون پوسته اقیانوسی در حین ادامه گسترش کافت.
- ۲- سرپانتینی شدن سنگهای اولترامافیک، آزاد شدن یونهای همچون کلسیم و رودینگیتهای شدن دایکها و توده‌های نفوذی (رودینگیتهای شدن استاتیک)
- ۳- حوادث زمین‌ساختی و جایگیری مجموعه افیولیتی، لغزش در طول مناطق راندگی و دایکهای رودینگیتهای، که باعث توسعه و تکامل رگه‌های رودینگیتهای شده، و حاکی از یک فعالیت هیدروترمال بعدی است (رودینگیتهای شدن دینامیک).

بررسی‌های صحرایی و آزمایشگاهی نشان می‌دهد، شاره‌هایی که باعث تبدیل دایک‌های بازیک و توده‌های نفوذی گابرویی به رودینگیتهای توده‌ای، و نیز تشکیل رودینگیتهای رگه‌ای شده‌اند، از نظر یون  $Ca^{2+}$  ابر اشباع بوده‌اند. فعالیت یون‌های  $Ca^{2+}$ ،  $Fe$  و  $Cr^{3+}$  در شاره موجود رودینگیتهای توده‌ای، نسبت به شاره موجود رودینگیتهای رگه‌ای بالاتر بوده است، درحالی که در شاره موجود در رودینگیتهای رگه‌ای نسل اول، فعالیت یون‌های  $Al^{3+}$ ،  $Ti^{4+}$ ،  $Si^{4+}$  و  $OH^-$  بالاتر بوده است. در مورد رودینگیتهای رگه‌ای نسل دوم نیز می‌توان گفت که شبیه به رودینگیتهای رگه‌ای نسل اول بوده و تنها به دلیل عدم وجود ایدوکراز، و نبود  $Ti$  در ساختار آندرادایت، فعالیت یون‌های  $Fe$ ،  $Ti$  و  $Al$  نسبت به رودینگیتهای رگه‌ای نسل اول کمتر بوده است.

وجود دیواره سیاه با کانیهای دیوپسید و کلریت در دایک‌های رودینگیتی افیولیت انارک نیز بیانگر وجود یک منطقه واکنش در حاشیه دایک‌ها، و دگرگون شدن دایک‌ها در رخساره شیست سبز است.

### تشکر و قدردانی

نتایج حاصل از این بررسی، بخشی از رساله دکتری در دانشگاه تربیت مدرس است. از معاونت محترم پژوهشی دانشکده علوم پایه و دانشگاه تشکر می‌شود. آنالیزهای نقطه‌ای کانی‌ها نیز در مرکز تحقیقات مشترک دانشکده علوم زمین، دانشگاه کانازاوا ژاپن انجام شد. دکتر Elazieta Dubinska استاد دانشکده زمین‌شناسی دانشگاه ورشو (لهستان)، و پروفیسور K. Hatzipanagiotou استاد بخش زمین‌شناسی دانشگاه پاتراس (قبرس) نیز به خاطر در اختیار قرار دادن منابع علمی و نیز بحث‌های علمی، شایسته قدردانی هستند. از مسئول آزمایشگاه تهیه مقطع نازک آقای فیروزی، و نیز واحد نقلیه دانشگاه تربیت مدرس نیز تشکر می‌شود.

### مراجع

- [1] Dubińska E., "Rodingites of the eastern part of Jordanów-Gogolów serpentinite massif (Lower Silesia, Poland)" *Canadian Mineralogist*, V. 33(3), (1995), 585-608.
- [2] Dubińska E. "Rodingites and amphibolites from the serpentinites surrounding Góry Sowie block (Lower Silesia, Poland), Record of supra-subduction zone magmatism and serpentinitization, Neues Jahrbuch fur Mineralogie und Petrologie", *Abhandlungen*, V. 171(3), (1997), 239-279.
- [3] Dubinska E., Wiewiora A., "Layer silicates from a rodingite and its blackwall from Przemiłow (lower Silesia, Poland): mineralogical record of metasomatic processes during serpentinitization and serpentinite recrystallization", *Mineralogy and Petrology* **67** (1999) pp. 223-237.
- [4] Hatzipanagiotou K., Tsikouras B., Migiros G., Gartzos E., Serelis K., "Origin of rodingites in Ultramafic rocks from Lesvos Island (NE Aegean, Greece)", *Ofioliti* **28(1)** (2003) pp. 13-23.
- [5] Plyusnina L.P., Likhoidov G.G., Zraisky G.P., "Physico-chemical conditions of rodingite formation (experimental data)", *Petrology (Moscow)* **1** (1993) pp. 491-501.
- [6] Schandl E.S., O'Hanley D.S., Wicks F.J., "Fluid inclusions in rodingite: a geothermometer for serpentinitization", *Economic Geology* **85** (1990) pp. 1273-1276.
- [7] Hatzipanagiotou K., Tsikouras B., "Rodingite formation from diorite in the Samothraki ophiolite, NE Aegean, Greece", *Geological Journal* **36** (2001) pp. 93-109.

- [8] Lensch G., Davoudzadeh M., "Ophiolites in Iran", N. Jb. Geol. Palaont. Mh., Stuttgart (1982) pp. 306-320.
- [9] Likhoidov G.G., Plyusnina L.P., "Rodingites as a special case of water-rock interaction. In: Water-Rock Interaction", Balkema, Rotterdam (1995) pp. 805-808.
- [10] Irving A.J., Ashley P.M., "Amphibole-Olivine-Spinel, Cordierite-Anthophyllite and related hornfels associated with metamorphosed serpentinites in the Goobarragandra District, near Tamut, New South Wales", J. Geol. Soc. Aust. **23** (1976) pp. 19-43.
- [11] Reyer D., Mohafez S., "The first contribution of the NIOC-ERAP agreements to knowledge of Iranian geology", Edition techniq, Paris (1972) p. 58.
- [12] Davoudzadeh M., Amidi M., "Geological quadrangle map of Anarak 1/250,000", geological survey of Iran (unpublished) (1975).
- [13] Davoudzadeh M., Soffel H., Schmidt K., "On the rotation of the Central-East Iran microplate", N. Jb. Geol. Palaont. Mh. **3** (1981) pp. 180-192.
- [14] Irving A.J., Ashley P.M., "Amphibole-Olivine-Spinel, Cordierite-Anthophyllite and related hornfels associated with metamorphosed serpentinites in the Goobarragandra District, near Tamut, New South Wales", J. Geol. Soc. Aust. **23** (1976) pp. 19-43.
- [15] Technoexport, "Geology of the Anarak area (Central Iran)", Geological Survey of Iran, Report TE/No. 19 (1984).
- [16] Weber-Diefenbach K., Davoudzadeh M., Alavi-Tehrani N., Lensch G., "Paleozoic Ophiolites of Iran, geology, geochemistry and geodynamic implication", Ofioliti **11(3)** (1986) pp. 305-338.
- [۱۷] باقری ساسان، "بررسی زمین شناسی و پترولوژی سنگهای افیولیتی شمال انارک"، دانشگاه اصفهان، پایان نامه کارشناسی ارشد پترولوژی (۱۳۷۳).
- [۱۸] پهلوان فلاح احمد، "بررسی پترولوژی سنگهای دگرگونی منطقه انارک"، دانشگاه اصفهان، پایان نامه کارشناسی ارشد پترولوژی (۱۳۷۳).
- [19] Almasian M., "Tectonics of the Anarak area (Central Iran)", Islamic Azad University, Science and Research Unit., PhD thesis (1997).
- [۲۰] ترابی قدرت، "بررسی رودینگیتی شدن دینامیک و کانی شناسی آن در بخشی از سنگ های افیولیتی شمال انارک (شمال شرق استان اصفهان)"، فشرده مقالات هشتمین همایش انجمن بلورشناسی و کانی شناسی ایران (۱۳۷۹) صفحه ۳۵۷ تا ۳۶۱.
- [21] Sabzehei M., "Rodingitization in Iranian basic rocks: A new interpretation", Journal of sciences, Islamic republic of Iran **13(2)** (2002) pp. 155-160.
- [22] Dubinska E., "Clinzoisitic rodingites from Naslawice near Sobótka (Lower Silesia)", Archiwum Mineralogiczne **44** (1989) pp. 41-54.

[23] Palandri J.L., Reed M.H., “*Geochemical models of metasomatism in ultramafic systems: Serpentinization, rodingitization, and sea floor carbonate chimney precipitation*”, *Geochimica et Cosmochimica Acta*, Papers in Press (W2114) (2003).